

Fig. 1

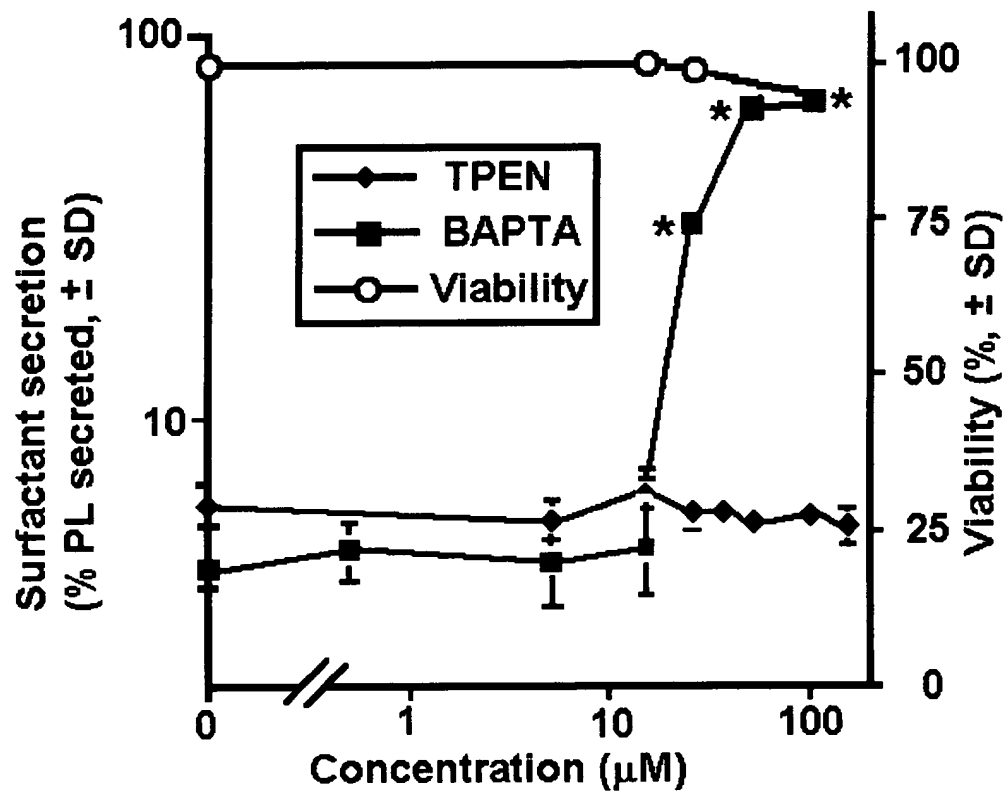


Fig. 2

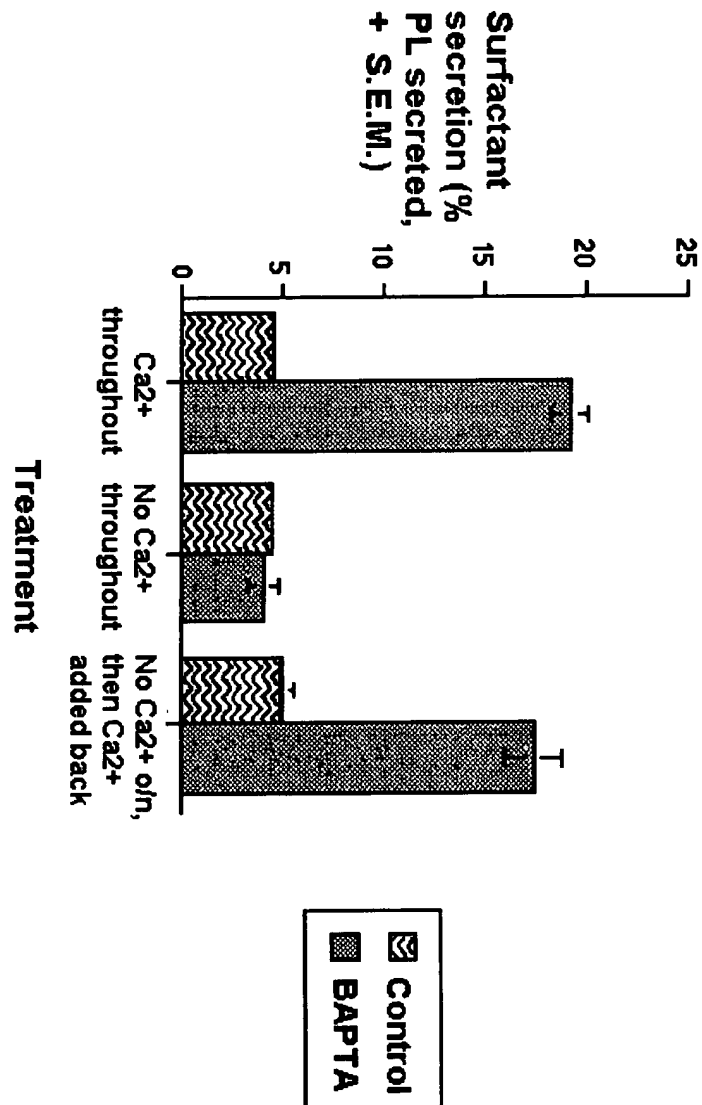


Fig. 3

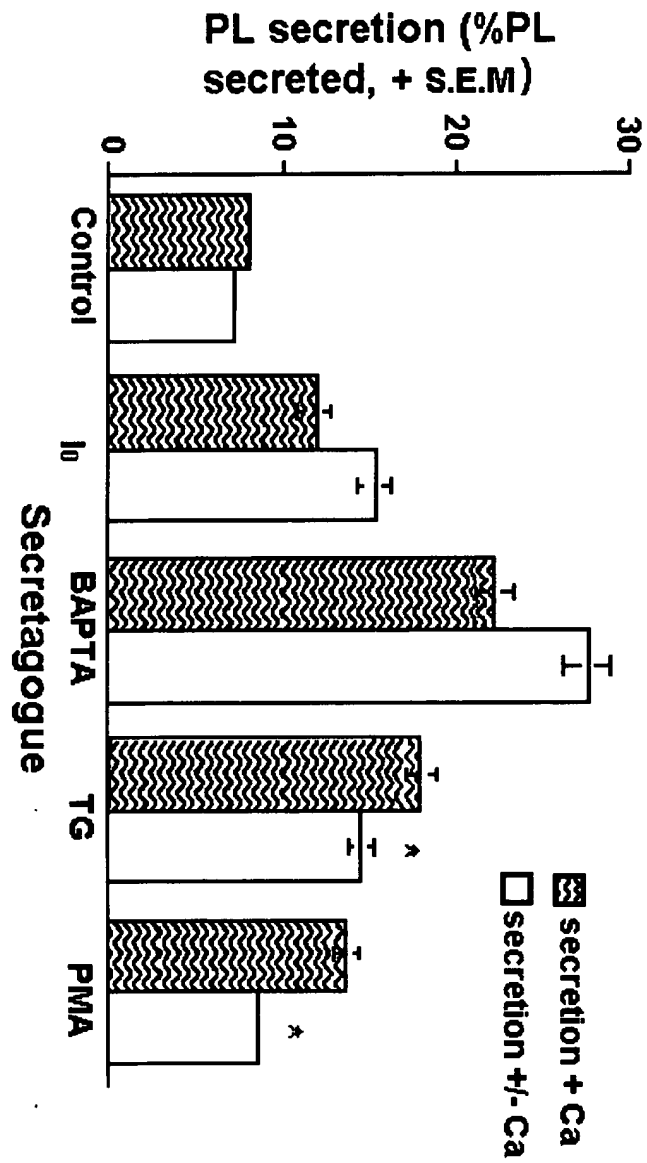


Fig. 4

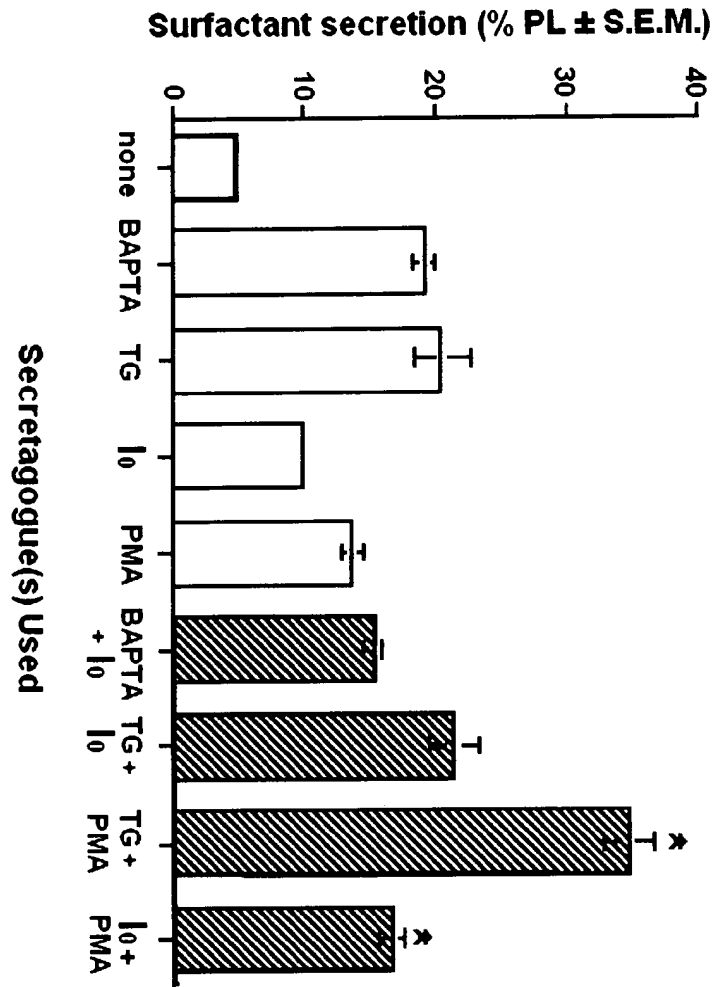
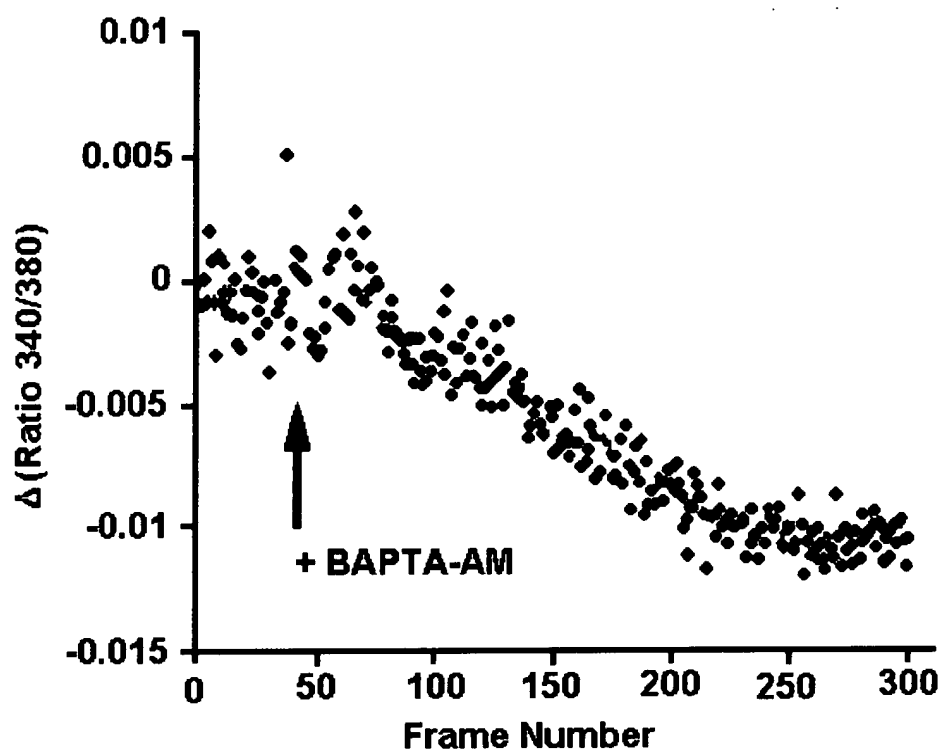


Fig. 5



Change in  $[\text{Ca}^{2+}]$ , in response to BAPTA-AM

Fig. 6a

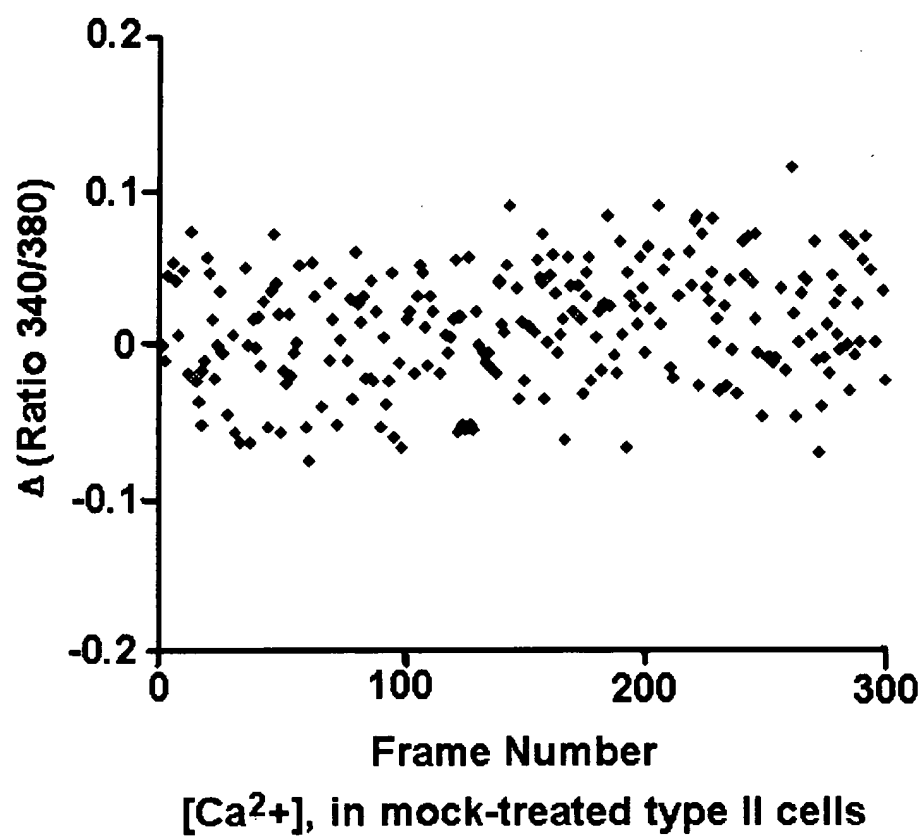


Fig. 6b

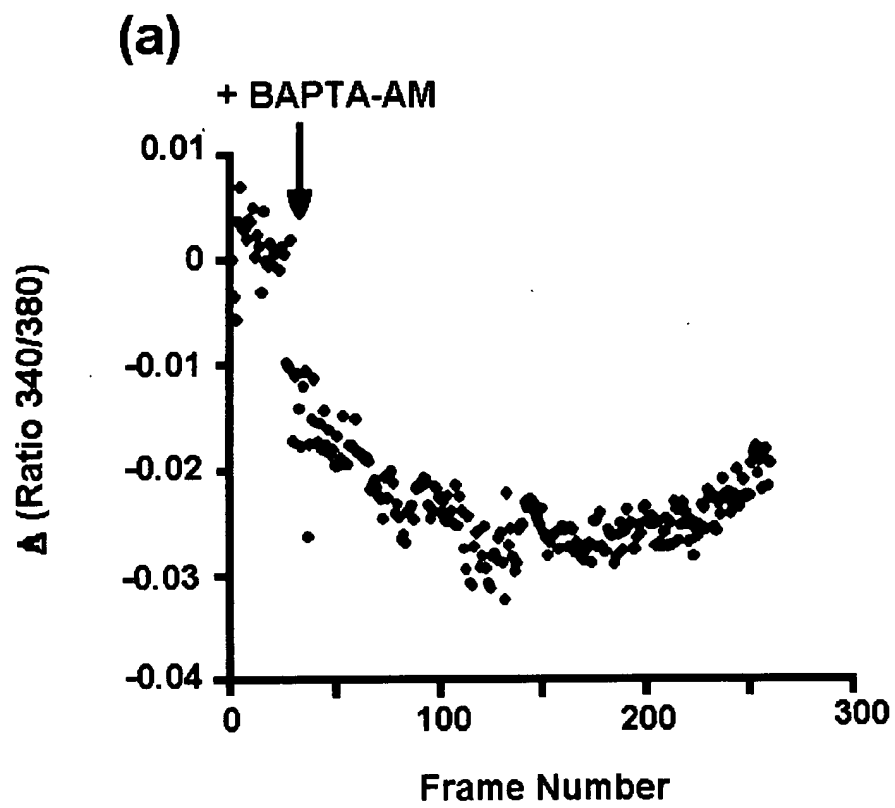


Fig. 7a



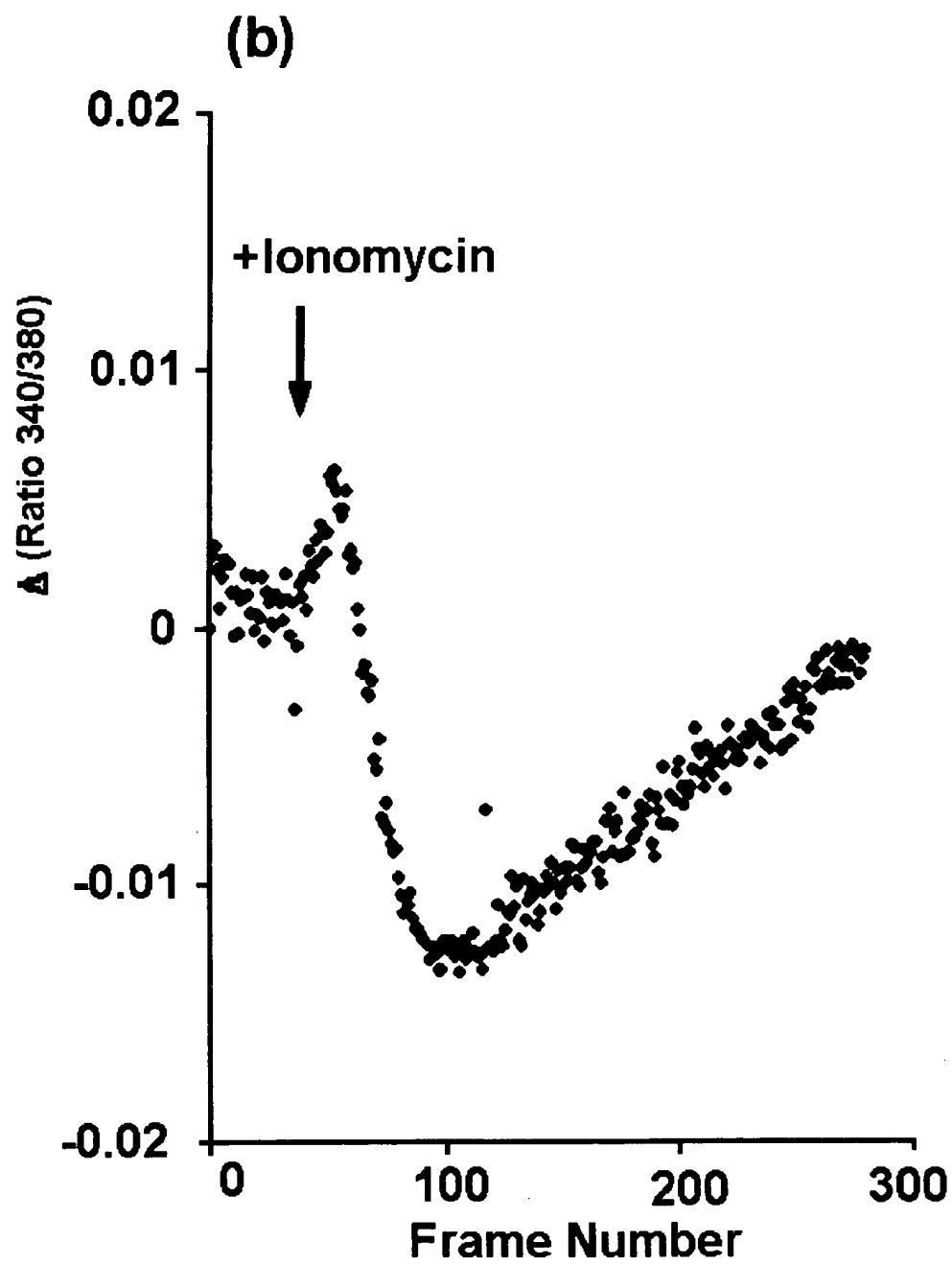


Fig. 7b

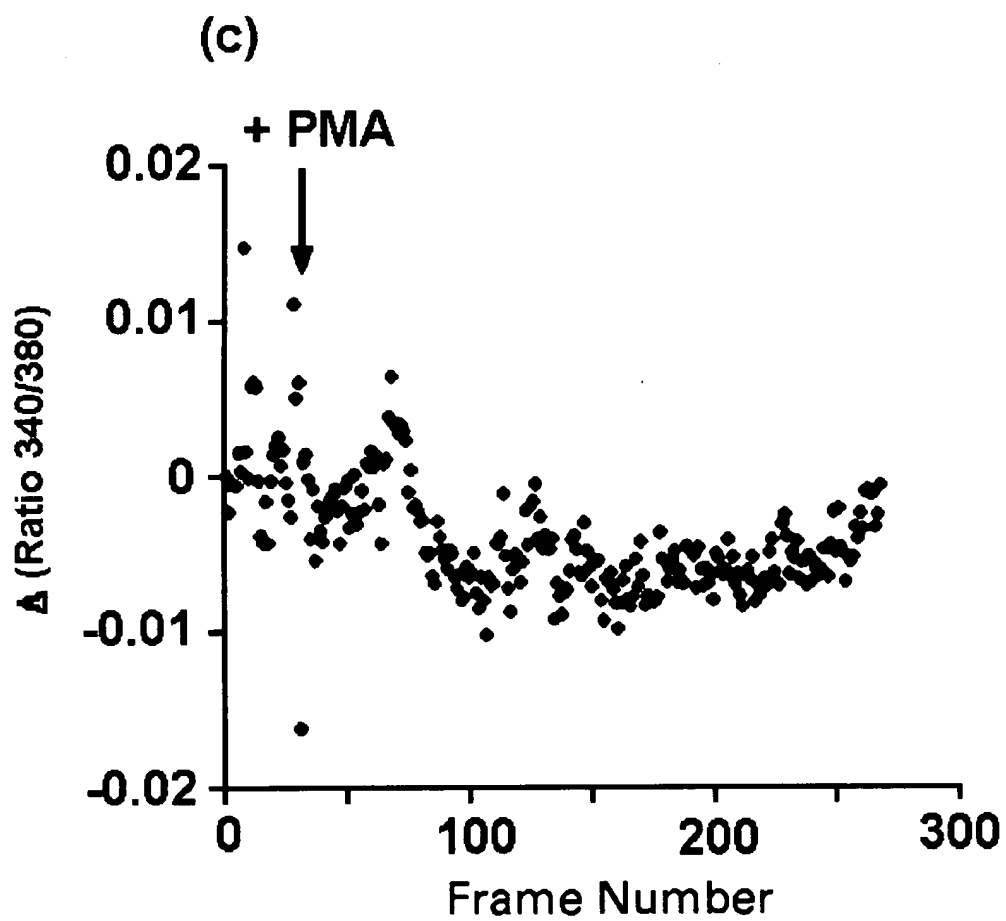


Fig. 7c

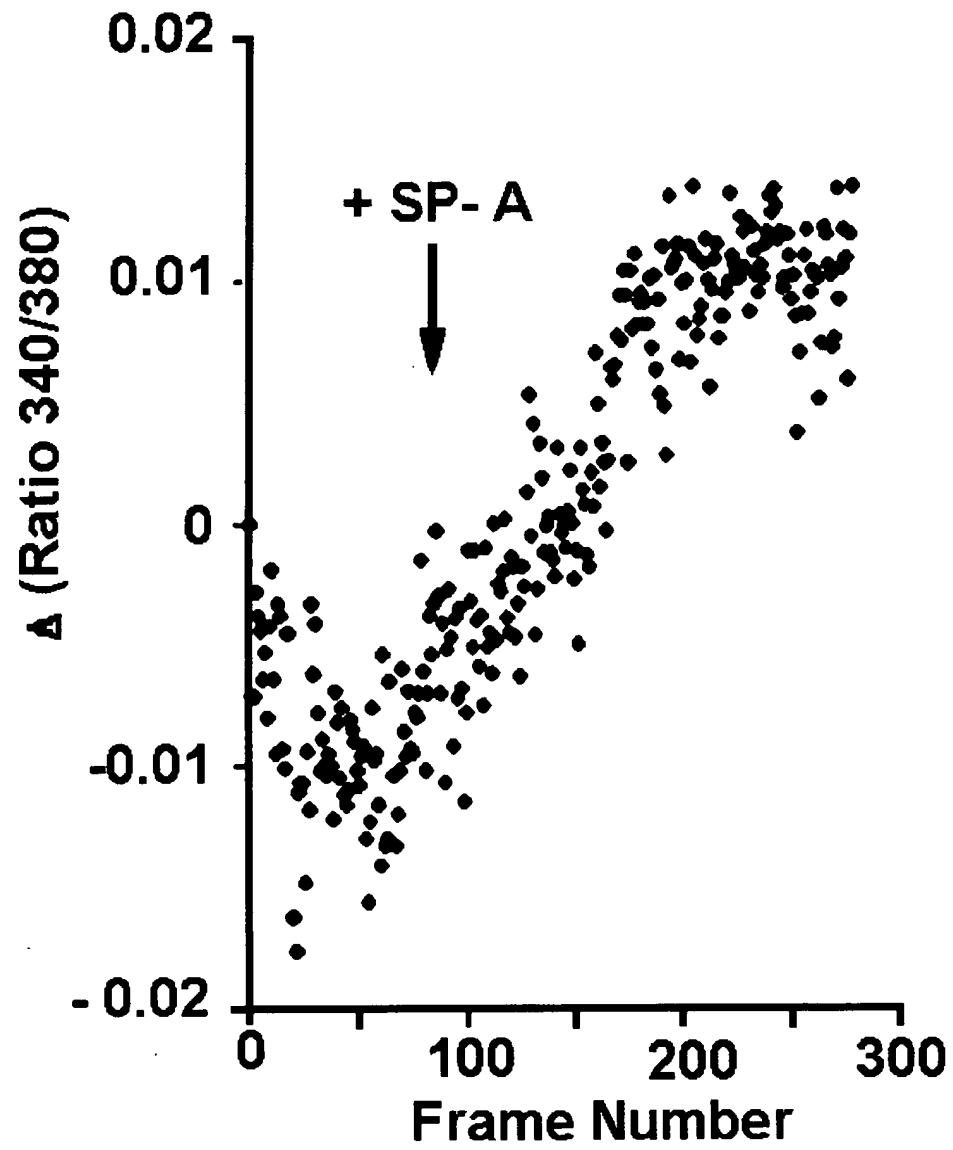


Fig. 7d

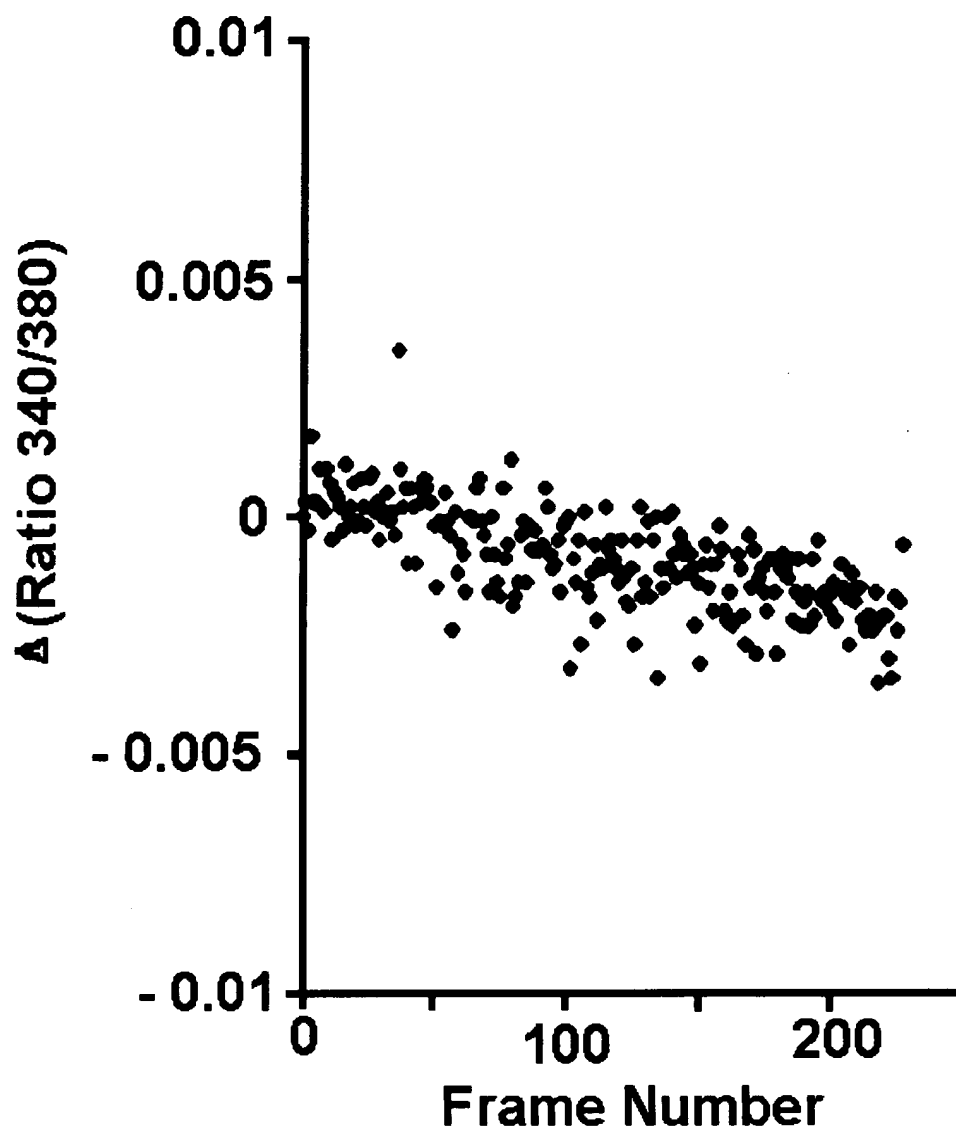


Fig 7e